

ствия этого и выработать соответствующие мероприятия. Как вариант может быть рассмотрено сближение передаточных чисел трансмиссии. На стадии концептуальных оценок это решение позволит избежать проблем, трудно устранимых на заключительных стадиях проектирования и в эксплуатации.

Заключение.

Разработанные специализированные методика и программное обеспечение, типовые расчетные схемы, методика выбора их параметров и начальных условий моделирования позволяют на концептуальной стадии проектирования машины оценить правильность выбора ее скоростного ряда с позиций динамики трансмиссии.

Работа выполнена при поддержке INTAS (проект INTAS 00-217).

Литература. 1. Orlandea N.V. ADAMS, theory and application // Proc. of the 3rd Seminar on Advanced Vehicle System Dynamics on roads and tracks. Supplement to Vehicle System Dynamics, vol. 16, 1987. 2. Альгин В.Б., Колесникович А.Н. Моделирование узлов трансмиссии в среде ADAMS // Сб. трудов Второй конференции пользователей программного обеспечения CAD-FEM GmbH (Москва, 17-18 апреля 2002 г.) / Под ред. А.С.Шадского. — Москва, 2002. — С. 351 —356. 3. Альгин В. Б. Динамика, надежность и ресурсное проектирование трансмиссий мобильных машин. — Минск: Навука і тэхніка, 1995. — 256 с. 4. Algin V.B., Drabyshevskaya O.V. Transmission Dynamics Based on Regular Dynamic Schemes // Актуальные проблемы динамики и прочности в теоретической и прикладной механике. — Мн.: УП “Технопринт”, 2001. — С.23-27.

УДК 621.88.024

А. В. Кузьмин

КИНЕМАТИКА ДИСКРЕТНО- ВОЛНОВОГО МЕХАНИЗМА

*Белорусский национальный технический университет
Минск, Беларусь*

Работа посвящена кинематике дискретно- волновых механизмов с гибкими связями. В качестве объекта исследования выбран механизм с гибкой связью, который обеспечивает один угловой шаг ведомого цилиндра за один полный оборот ведущего водила. Его структура хорошо иллюстрирует процессы формирования и перемещения поперечной волны на гибком звене(нити). Данный механизм отличается простотой конструкции, отсутствием деталей со сложной технологией производства, плавностью работы и способностью проскальзывать при перегрузках. Его схема показана на рис. 1.

Гибкое звено(нить) 4, например ремень, охватывает цилиндр 3. Левый конец нити прикреплен к неподвижному звену(точке) O_2 , а правый конец прикреплен к компенсационной пружине 5. Водило (генератор волн) 1 с роликом 2 вращается по часовой стрелке вокруг оси O независимо от цилиндра 3. При входе в контакт с гибким звеном (нитью) ролик 2 образует на нем бегущую поперечную волну деформации. Это требует перемещения гибкого звена(нити) с правой стороны на левую, что сопровождается растяжением компенсационной пружины 5. В результате силы трения между нитью и поверхностью цилиндра поворачивают его в направлении перемещения гибкого звена(нити), т. е. против часовой стрелки. Процесс формирования волны и соответствующего поворота цилиндра на некоторый угол φ_3 происходит в рабочей фазе одного поворота водила наугле φ_w , затем следует фаза остановки цилиндра, когда активные ки-

нематические процессы отсутствуют. В этой фазе на дуге, равной $2\varphi_0$, сформированная ранее волна перемещается водилом без изменения ее контура. Далее, на дуге φ_w наблюдается фаза разрушения волны и по ее окончании компенсационная пружина снова сокращается до начальной длины. Наконец, на дуге $2\varphi_0$ следует фаза паузы, когда водило не имеет контакта с гибким звеном. После этого в той же самой последовательности следующий угловой период 2π поворота водила повторяется с теми же фазами (стадиями). Таким образом, движение управляемого цилиндра будет иметь циклический характер, то есть с чередующимися стадиями поворотов и остановок.

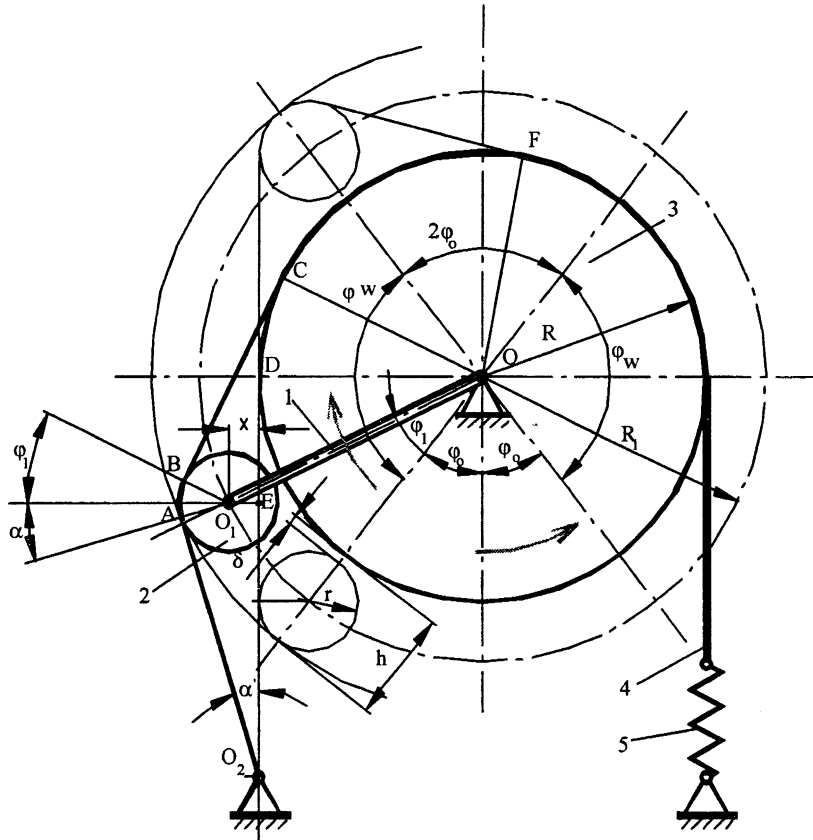


Рис. 1. Схема дискретно- волнового механизма

Стадии остановки могут быть уменьшены до минимума за счет увеличения угла охвата цилиндра гибким звеном (нитью). Взаимодействие гибкой связи с цилиндром может быть основанным на трении между ними или на принципе зацепления. В первом случае гибкая связь может быть плоская, круглая (например, трос) или в виде клинового ремня. Соответственно этому должен быть профиль шкива. Во втором случае можно использовать цепь, а вместо цилиндра должна иметься звездочка с соответствующим профилем зубьев.

Очевидно, что поворот ведомого звена 3, который является цилиндром, на некоторый угол φ_3 произойдет за счет увеличения длины гибкого звена при его контакте с роликом, вращающемся вместе с водилом. Это увеличение S длины равно разнице наклонных и опорных участков контура волны. В текущем положении водила, определяемом углом φ_1 , наклонные и изогнутые участки - O_2A , AB и BC , и опорные участки O_2D и DC . Таким образом

$$S = \varphi_3 R = O_2A + AB + BC - (O_2D + DC).$$

Обозначим: $O_2D = l$; $ED = y$; $O_2O_1 = d$.

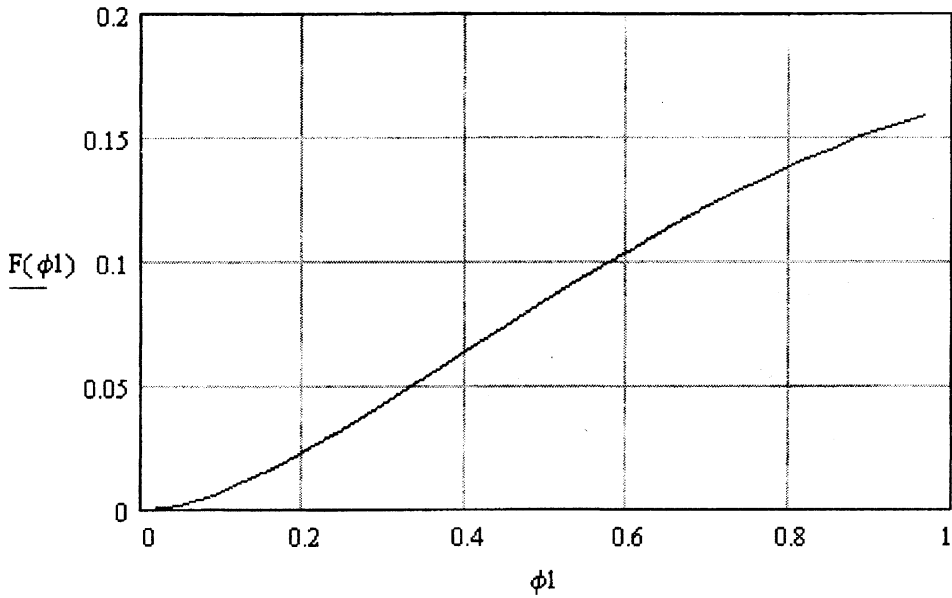


Рис. 2. График передаточной функции положений механизма

Мы используем концепцию, известную в геометрии как степень точки. Степень точки O_2 относительно круга радиуса r с центром O_1 равна

$$P^2 = d^2 - r^2 = x^2 + (l-y)^2 - r^2$$

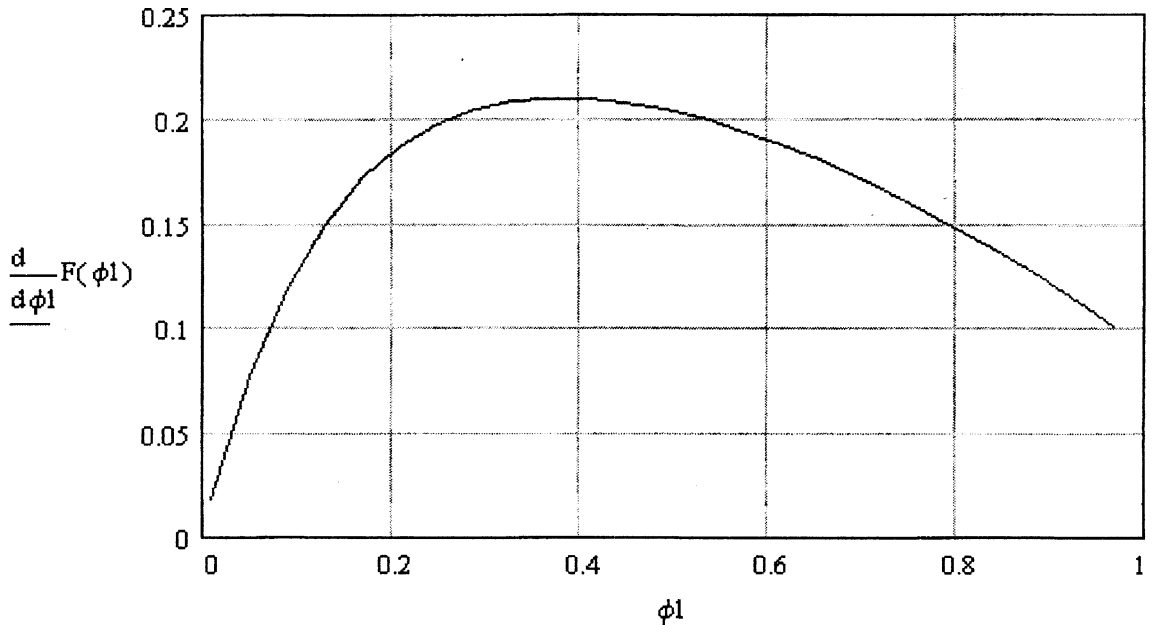


Рис.3. График передаточной функции скоростей механизма

Известно, что касательная $O_2 A = p$. Очевидно, что $x = R_1 \sin(\varphi_1 + \varphi_0) - R$, и $y = R_1 \cos(\varphi_1 + \varphi_0)$, тогда

$$O_2 A = \{ [R_1 \sin(\varphi_1 + \varphi_0) - R]^2 + [l - R_1 \cos(\varphi_1 + \varphi_0)]^2 - r^2 \}^{1/2}$$

Далее мы найдем, что: $AB = r(\varphi_1 + \alpha)$; $BC = R_1 \cos \varphi_0$; $\varphi_0 = a \sin(R-r)/R_1$; $DC = \varphi_1 R$;

$$\alpha = \text{atan}(x/(l-y)) + \text{atan}(r/p).$$

Введем дополнительно следующие обозначения:

h - высота полностью сформировавшейся волны, $h = 2r + d$;

ψ - главный геометрический параметр механизма, $\psi = h/R$;

$$\kappa_1 = R_1/R; \kappa_2 = l/R; \kappa_3 = r/R.$$

Подставим эти величины в предыдущие выражения и, заменив $\varphi_3=S/R$, а также обозначив $O_2A/R=p/R=C=\{[k_1 \cdot \sin(\varphi_1+\varphi_0)-1]^2+[k_2-k_1 \cos(\varphi_1+\varphi_0)]^2-k_3^2\}^{1/2}$, получим $\varphi_3=f(\varphi_1)=C+k_3(\varphi_1+\alpha)-\varphi_1+k_1 \cos \varphi_0-k_2$;

$$\alpha=\operatorname{atan}\{[k_1 \cdot \sin(\varphi_1+\varphi_0)-1]/[k_2-k_1 \cos(\varphi_1+\varphi_0)]\}+\operatorname{atan}(k_3/C).$$

Зависимость $\varphi_3 = F(\varphi_1)$ представляет собой передаточную функцию перемещений (уравнение связи) механизма, который определяет закон движения ведомого звена. На ее основе в среде программы Mathcad построен график рис. 2 в координатах $\varphi_1-f(\varphi_1)$ при следующих значениях параметров механизма: $k_1 = 1.11$; $k_2 = 1.0$; $k_3 = 0.1$.

Известно, что производная $\varphi_3'=\varphi_3'(\varphi_1)$ представляет собой передаточную функцию скоростей. Программа Mathcad позволяет строить графики производной, не обращаясь к дифференцированию функции $f(\varphi_1)$ в аналитической форме. На рис. 3 этот график представлен для ранее принятых параметров механизма. Передаточное отношение, выраженное через угловые скорости цилиндра 3 и водила 1 равно: $i_{31}=\omega_3/\omega_1=d\varphi_3/d\varphi_1$, тогда $\omega_3=\omega_1 \cdot d\varphi_3/d\varphi_1$

(ω_3 и ω_1 - соответственно угловые скорости цилиндра и водила). Окружная скорость цилиндра будет равна: $v_3=\omega_3 \cdot R$.

Угловое ускорение цилиндра ε_3

$$\varepsilon_3=d\omega_3/dt=d(\omega_1 i_{31})=i_{31} \cdot d\omega_1/dt+\omega_1 \cdot di_{31}/dt.$$

При $\omega_1 = \text{const}$ и, принимая во внимание, что $\varphi_1=d\varphi_1/dt$ мы должны получить:

$$\varepsilon_3=\omega_1^2 \cdot di_{31}/d\varphi_1.$$

Передаточная функция углового ускорения цилиндра

$$\varepsilon_3/\omega_1^2=di_{31}/d\varphi_1=d(d\varphi_3/d\varphi_1)/d\varphi_1=d^2\varphi_3/d\varphi_1^2$$

Это выражение представляет собой вторую производную передаточной функции перемещений механизма.

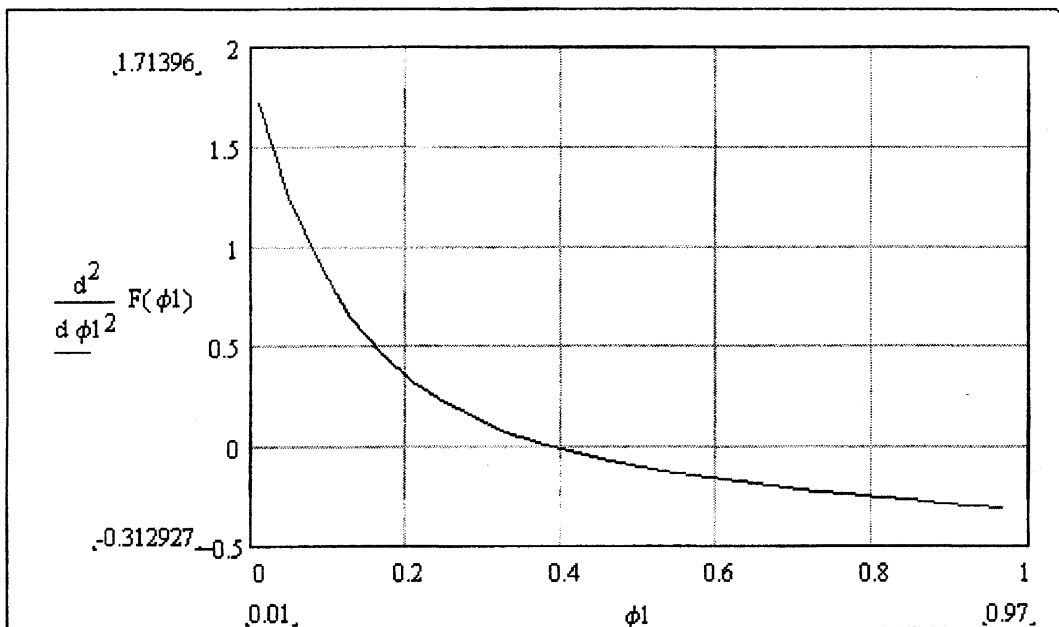


Рис. 4. График передаточной функции ускорений

На рис. 4 показан график передаточной функции ускорений механизма. Он построен с помощью упомянутой программы Mathcad для приведенных выше параметров механизма.

Анализ графиков на рис. 2, 3, 4 указывает на благоприятную кинематическую характеристику механизма.

Поверхностные графики упомянутых передаточных функций были получены также для различные значений параметра ψ . Они позволяют анализировать его влияние на кинематику механизма. Однако ввиду ограниченного объема статьи они не представлены.

Передаточное отношение механизма может быть определено либо относительно рабочей фазы механизма для дуги φ_w или относительно периода 2π работы водила (т. е. для одного его оборота). В первом случае мы получим $i_{\varphi_w} = \varphi_w / \varphi_{3max}$, во втором случае $i_{2\pi} = 2\pi / \varphi_{3max}$, где φ_{3max} - угол, накопленный в течение рабочей стадии поворота цилиндра. Значение φ_{3max} может быть определено по графику рис. 2. Угол $\varphi_w = \pi - 2\varphi_0 = \pi - 2 \cdot \text{asin}[(R-r)/R_1] = \pi - \text{asin}[(1-k_3)/k_1]$.

С другой стороны угол φ_{3max} может быть определен из рассмотрения полностью сформировавшейся волны на дуге DF . Эта волна соответствует активной фазе кинематической характеристики механизма. Очевидно, что накопленное на дуге φ_w перемещение нити равно разнице длин частей нити на дуге DF и длине этой дуги на поверхности цилиндра. После соответствующих преобразований мы получим

$$\begin{aligned} \varphi_{3max} &= 2 \cdot k_1 \cdot \sin\{\text{acos}[(1-k_3)/k_1]\} - 2 \cdot \text{acos}[(1-k_3)/k_1] \cdot (1-k_3); \\ i_{\varphi_w} &= \{0.5 \cdot \pi - \text{asin}[(1-k_3)/k_1]\} / \{k_1 \cdot \sin\{\text{acos}[(1-k_3)/k_1]\} - \text{acos}[(1-k_3)/k_1] \cdot (1-k_3)\}; \\ i_{2\pi} &= \pi / \{k_1 \cdot \sin\{\text{acos}[(1-k_3)/k_1]\} - \text{acos}[(1-k_3)/k_1] \cdot (1-k_3)\}. \end{aligned}$$

На рис. 5 кривые $i_{\varphi_w} = f(\psi)$ и $i_{2\pi} = F(\psi)$ построены в среде Mathcad для $k_1 = 0.01$ при различных значениях $\psi = h/R = 2 \cdot k_3 + 0.01$.

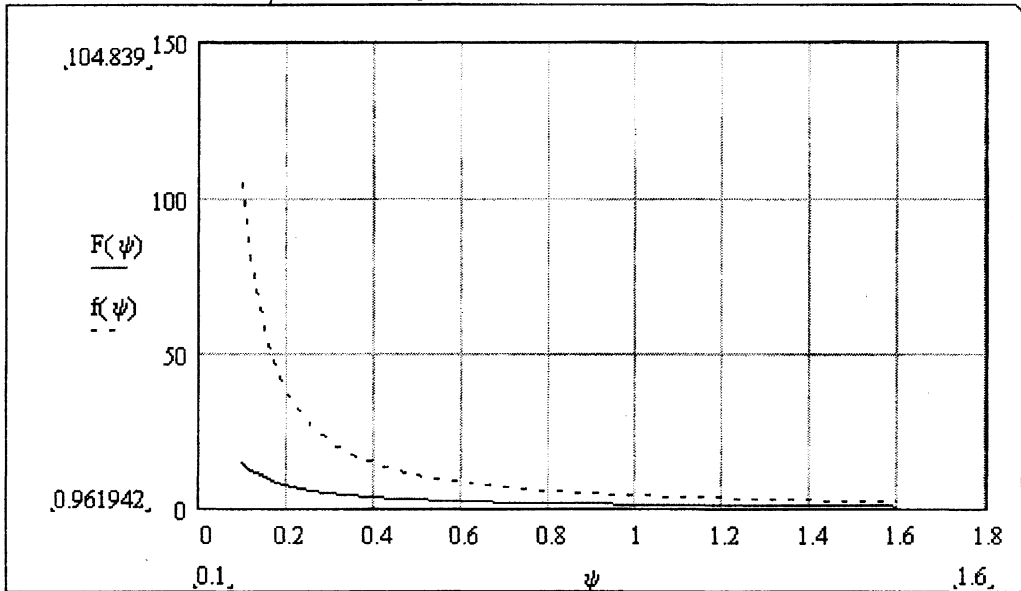


Рис. 5. Графики передаточных отношений $i_{\varphi_w} = f(\psi)$ и $i_{2\pi} = F(\psi)$

Из графика рис. 5 следует, что можно получить большие передаточные отношения при малых значениях ψ . В то же время, при $\psi > 1.1$ механизм становится мультипликатором с передаточным отношением, меньшим единицы.

Обозначения величин по осям графиков рис. 2, 3, 4 и 5 даны в специфичной для среды Mathcad форме.

Литература. Dobrolyubow A. I. Kusmin A. W. Neue Wellenschrittmechanismen.- Feingeratetechnik, Berlin, 1986, N 1, s. 19-20.